

ANALÝZA AKTÍVNEHO RIADENIA ODPRUŽENIA NA CELOM MODELI AUTOMOBILU

Ing. Monika Zuščíková, doc. Ing. Cyril Belavý, CSc.

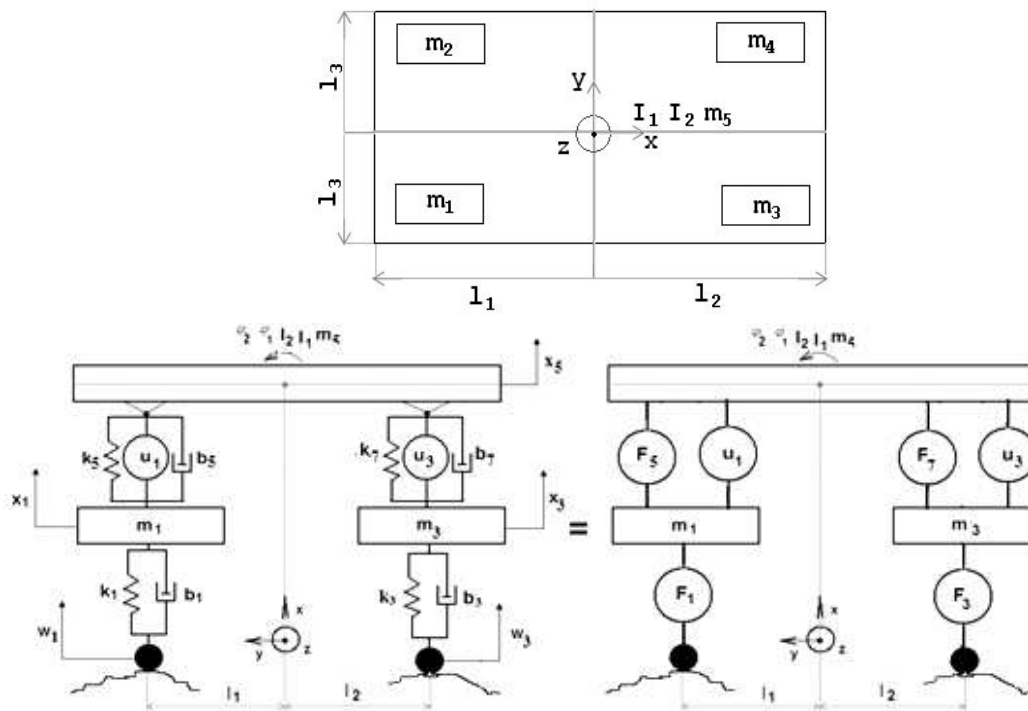
Ústav automatizácie, merania a aplikovanej informatiky, Strojnícka Fakulta,
Slovenská Technická Univerzita v Bratislave, Nám. Slobody 17, 812 31 Bratislava 1

Abstrakt

Článok sa zaoberá analýzou aktívneho riadenia na zjednodušenom celom modeli vozidla pomocou LQG regulátora s využitím náhradných lineárnych modelov implementovaných do simulačného modelu. Pri optimálnom riadení má zásadný vplyv na konečné zosilnenie spätnoväzbového regulátora a tým aj výsledné vlastnosti odpruženia vhodná voľba váhových koeficientov. V tomto prípade sú určené na základe H_2 a H_∞ noriem. V práci je riešená tiež úloha minimalizácie počtu snímačov a ich vhodného rozmiestnenia na vozidle. Pri riešení uvedených úloh je využité softvérové prostredie Matlab s Control System Toolboxom.

1 Zjednodušený matematický model celého vozidla

Na analýzu riadenia odpruženia sme použili zjednodušený model celého vozidla Obr.1, prostredníctvom ktorého sa dá sledovať dynamika vozidla z hľadiska kmitania karosérie vo vertikálnom smere a pritom zohľadniť i rotačné kmitanie karosérie okolo priečnej a pozdĺžnej osi vozidla.



Obr. 1: Zjednodušený model celého vozidla

Pri vytváraní matematického modelu sme zvolili metódu používanú pri tvorení MKP štruktúr a v Matlabe sme ju realizovali prostredníctvom nami zadanou funkciou. Pohybová rovnica má tvar

$$\mathbf{M}_d \ddot{\mathbf{q}} + \mathbf{T}_{F_x} \mathbf{f}_B + \mathbf{T}_{F_x} \mathbf{f}_K = \mathbf{T}_{F_u} \mathbf{f}_u \quad (1)$$

Silový element je tvorený pružinou a tlmičom tzv. Kelvin - Voigt elementom a ich vektory síl môžeme vyjadriť ako

$$\mathbf{f}_B = \mathbf{B}_d \mathbf{T}_{F_x}^T \dot{\mathbf{q}} - \mathbf{B}_d \mathbf{T}_{F_w}^T \dot{\mathbf{w}} \quad \text{a} \quad \mathbf{f}_K = \mathbf{K}_d \mathbf{T}_{F_x}^T \mathbf{q} - \mathbf{K}_d \mathbf{T}_{F_w}^T \mathbf{w} \quad (2)$$

potom platí

$$\mathbf{M}_d \ddot{\mathbf{q}} + (\mathbf{T}_{F_x} \mathbf{B}_d \mathbf{T}_{F_x}^T) \dot{\mathbf{q}} + (\mathbf{T}_{F_x} \mathbf{K}_d \mathbf{T}_{F_x}^T) \mathbf{q} = \mathbf{T}_{F_u} \mathbf{f}_u + (\mathbf{T}_{F_x} \mathbf{B}_d \mathbf{T}_{F_w}^T) \dot{\mathbf{w}} + (\mathbf{T}_{F_x} \mathbf{K}_d \mathbf{T}_{F_w}^T) \mathbf{w} \quad (3)$$

kde \mathbf{M}_d , \mathbf{K}_d , \mathbf{B}_d sú diagonálne matice

$$\begin{aligned} \mathbf{M}_d &= \text{diag}([m_1 \ m_2 \ m_3 \ I_1 \ I_2]) \\ \mathbf{B}_d &= \text{diag}([b_1 \ b_2 \ b_3 \ b_4 \ b_5 \ b_6 \ b_7 \ b_8]) \\ \mathbf{K}_d &= \text{diag}([k_1 \ k_2 \ k_3 \ k_4 \ k_5 \ k_6 \ k_7 \ k_8]) \end{aligned} \quad (4)$$

\mathbf{T}_{F_x} je transformačná matica prevodu silových pôsobení \mathbf{f} od silových elementov na jednotlivé telesa sústavy, \mathbf{T}_{F_w} maticu prevodu silového pôsobenia silových elementov na kinematické budenie (vozovku) a \mathbf{T}_{F_u} je matica externých vstupných síl \mathbf{f}_u na telesa sústavy.

$$\mathbf{T}_{F_x} = \begin{bmatrix} -1 & 0 & 0 & 0 & 1 & 0 & 0 & 0 \\ 0 & -1 & 0 & 0 & 0 & 1 & 0 & 0 \\ 0 & 0 & -1 & 0 & 0 & 0 & 1 & 0 \\ 0 & 0 & 0 & -1 & 0 & 0 & 0 & 1 \\ 0 & 0 & 0 & 0 & -1 & -1 & -1 & -1 \\ 0 & 0 & 0 & 0 & l_1 & l_1 & -l_2 & -l_2 \\ 0 & 0 & 0 & 0 & -l_3 & l_3 & -l_3 & l_3 \end{bmatrix}, \quad \mathbf{T}_{F_u} = \begin{bmatrix} 1 & 0 & 0 & 0 \\ 0 & 1 & 0 & 0 \\ 0 & 0 & 1 & 0 \\ 0 & 0 & 0 & 1 \\ -1 & -1 & -1 & -1 \\ l_1 & l_1 & -l_2 & -l_2 \\ -l_3 & l_3 & -l_3 & l_3 \end{bmatrix}, \quad \mathbf{T}_{F_w} = \begin{bmatrix} 1 & 0 & 0 & 0 \\ 0 & 1 & 0 & 0 \\ 0 & 0 & 1 & 0 \\ 0 & 0 & 0 & 1 \\ 0 & 0 & 0 & 0 \\ 0 & 0 & 0 & 0 \\ 0 & 0 & 0 & 0 \\ 0 & 0 & 0 & 0 \end{bmatrix} \quad (5)$$

Vektory síl a vektory absolútnych výchyliek boli usporiadané nasledovne

$$\begin{aligned} \mathbf{q} &= [x_1 \ x_2 \ x_3 \ x_4 \ x_5 \ \varphi_1 \ \varphi_2]^T, & \mathbf{u} &= [u_1 \ u_2 \ u_3 \ u_4]^T \\ \mathbf{w} &= [w_1 \ w_2 \ w_3 \ w_4 \ \dot{w}_1 \ \dot{w}_2 \ \dot{w}_3 \ \dot{w}_4]^T, & \mathbf{f} &= [F_1 \ F_2 \ F_3 \ F_4 \ F_5 \ F_6 \ F_7 \ F_8]^T \end{aligned} \quad (6)$$

Pre syntézu regulátora a simuláciu systémov je výhodné transformovať rovnicu (3) do stavového priestoru podľa štandardného postupu s využitím identity vektorov. Na vyjadrenie výchyliek sme použili relatívne súradnice.

$$\dot{\mathbf{x}}_{abs}(t) = \mathbf{A}_{abs} \mathbf{x}_{abs}(t) + \mathbf{B}_{abs} \mathbf{u}(t) + \mathbf{G}_{abs} \mathbf{w}_{abs}(t) \quad (7)$$

Aby sa stavový zápis matematického modelu vozidla dal použiť pre syntézu optimálneho regulátora, potrebujeme transformovať systém z absolútnych súradníc do súradníc, kde výchylky sú relatívne voči výchylkám vozovky. Táto transformácia súradnicového systému sa vykoná prostredníctvom nasledovných vzťahov:

$$\mathbf{A}_p = \mathbf{T}_r \mathbf{A}_{abs} \mathbf{T}_r^{-1}, \quad \mathbf{B}_p = \mathbf{T}_r \mathbf{B}_{abs}, \quad \mathbf{G}_p = \mathbf{T}_r \mathbf{G}_{abs}, \quad \mathbf{C}_p = \mathbf{C}_{abs} \mathbf{T}_r^{-1}, \quad \mathbf{D}_p = \mathbf{D}_{abs}, \quad \mathbf{H}_p = \mathbf{H}_{abs} \quad (8)$$

kde \mathbf{T}_r je potrebná transformačná matica a zostavíme ju pomocou už vytvorenej matice \mathbf{T}_{F_w}

$$\mathbf{x}_r = \mathbf{T}_r \mathbf{x}, \quad \mathbf{T}_r = [\mathbf{I} \quad -\mathbf{T}_{F_w}^T]. \quad (9)$$

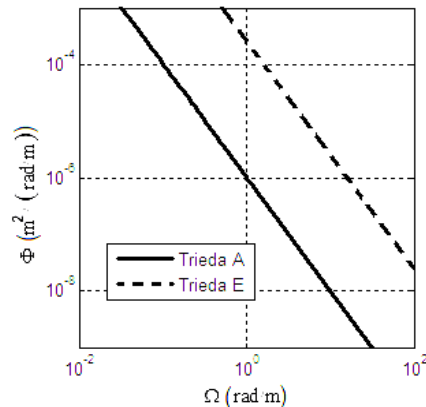
Matematický model mechanickej sústavy sme modelovali pomocou nami vytvorenej funkcie, do ktorej vstupovali matice (4) a (5).

2 Náhradné lineárne modely

2.1 Model vozovky a jej štatistické vlastnosti

Vychádzali sme z normy ISO 8608, kde sú definované rôzne typy vozoviek. Konkrétny typ vozovky môžeme interpretovať prostredníctvom integrovaného bieleho šumu, ktorý má intenzitu o veľkosti rovnjej spektrálnej výkonovej hustote (SVH) uvažovanej

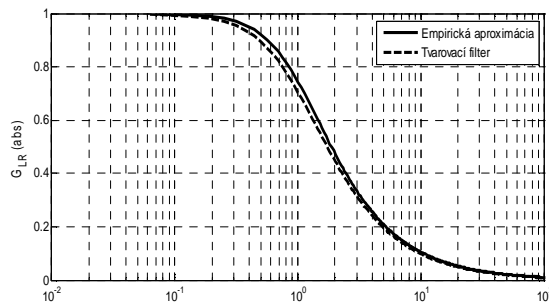
vozovky. Na vyjadrenie tejto závislosti postačuje použitie prenosovej funkcie prvého rádu.



Obr. 2: Priebeh SVH signálu získaného použitím tvarového filtra

2.2 Previazanosť ľavej a pravej stopy vozovky

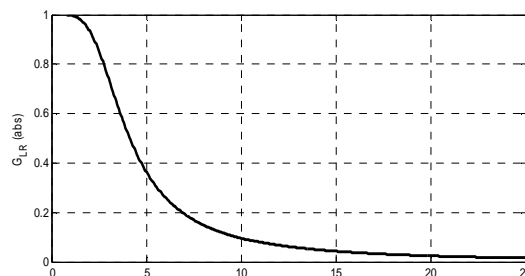
Tvarovací filter prvého rádu dostatočne presne aproximuje koreláciu nerovnosti medzi pravou a ľavou stopou vozovky, vzhľadom na meniacu sa dĺžkovú frekvenciu nerovnosti.



Obr. 3: Priebeh empirickej koherenčnej funkcie pre ľavú a pravú stopu vozovky a odozva náhradného tvarovacieho filtra

2.3 Model obmedzujúci funkčnosť aktuátora

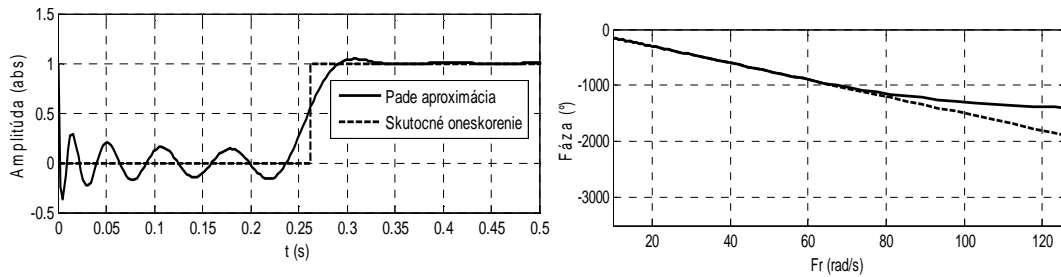
Aktuátory používané na dosiahnutie požadovaného akčného zásahu sú schopné riadiť dynamiku len zhruba do 5 Hz. Toto obmedzenie sme vyjadrili prostredníctvom dolno-pásmového filtra napr. druhého rádu, kde frekvenčná odozva má nasledovný tvar



Obr. 4: Frekvenčná odozva modelu vyjadrujúceho obmedzenie aktuátora v systéme aktívneho odpruženia vozidla.

2.4 Padého aproximačný filter časového oneskorenia

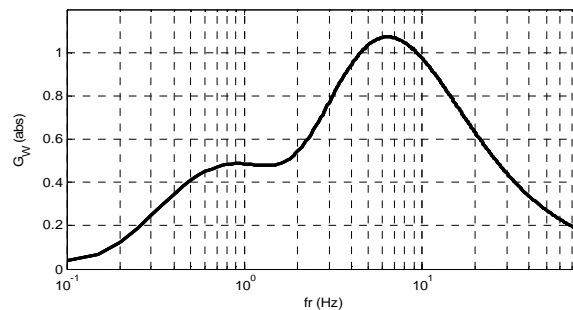
Tento filter sme použili na vyjadrenie časového oneskorenia budiaceho signálu zadnej nápravy voči prednej. Na Obr. 5 je zobrazená odozva Padého filtra 10-teho rádu na jednotkový skok.



Obr. 5: Porovnanie pomocou odozvy na jednotkový skok signálu získaného prostredníctvom Padého aproximačného filtra 10-teho rádu so skutočne oneskoreným signálom

2.5 Váhovacie filter zrýchlení

Tento filter sme použili na vyjadrenie zrýchlenia pôsobiaceho na ľudský organizmus vo vertikálnom smere kmitania.



Obr. 6: Frekvenčná odozva prenosovej funkcie vážiaceho filtra zrýchlenia pôsobiaceho na posádku vozidla.

Jednotlivé náhradné lineárne modely sme prepísali do stavového priestoru a zahrnuli do výsledného simulačného modelu.

3 Optimálne riadenie

3.1 Lineárny optimálny regulátor LQR

Cieľom LQ riadenia je nájsť hodnoty matice zosilnenia \mathbf{K} , tak aby sa dosiahlo minimum kriteriálnej funkcie, čo sme realizovali v Matlabe pomocou funkcie `lqry`.

$$J = \frac{1}{2} \int_0^{\infty} [\mathbf{y}^T(t) \mathbf{Q} \mathbf{y}(t) + \mathbf{u}^T(t) \mathbf{R} \mathbf{u}(t)] \quad (10)$$

Súčasťou kriteriálnej funkcie je jej váhovacia matica \mathbf{Q} , prostredníctvom ktorej vieme zvýrazniť dôležitosť jednotlivých optimalizovaných kritérií. Rovnako sa v rovnici nachádza i penalizačná matica \mathbf{R} aktívnych silových účinkov \mathbf{u} . Pri výpočte je nevyhnutné, aby systém bol riaditeľný.

3.2 Lineárny optimálny odhadca stavových veličín LQE

V podstate ide o špeciálny prípad Kalmanovho filtra, tzv. stacionárny Kalmanov filter, ktorým na základe meraných veličín môžeme odhadnúť zvyšné nemerateľné stavové veličiny. Stavový model filtra sa vyjadruje rovnica

$$\dot{\hat{\mathbf{x}}}(t) = \mathbf{A} \hat{\mathbf{x}}(t) + \mathbf{B} \mathbf{u}(t) + \mathbf{L}(\mathbf{y}_e(t) - \hat{\mathbf{y}}_e(t)) \quad (11)$$

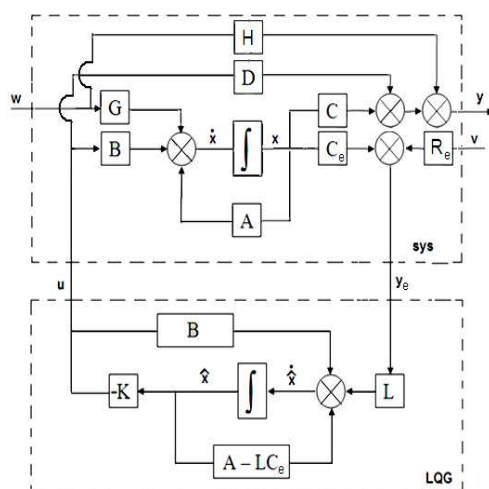
kde hľadaná matica \mathbf{L} má zabezpečovať minimálnu hodnotu rozptylu odchýlky medzi odhadnutím a skutočným stavom modelu. V Matlabe sme na jej výpočet použili funkciu \mathbf{lqew} .

3.3 Lineárny kvadratický Gaussovský (LQG) regulátor

Používa sa na návrh optimálneho dynamického regulátora v prípade, ak máme neúplne informácie o stave t.j., ak nie sú merateľné všetky stavové veličiny. V podstate ide o doplnenie systému s optimálnym regulátorom o stacionárny Kalmanov filter, kde spätná väzba je realizovaná vo forme

$$\mathbf{u}(t) = -\mathbf{K}\hat{\mathbf{x}}(t) \quad (12)$$

Na matematický popis systému riadeného prostredníctvom LQG sme použili rovnice (14 a 15), pričom výstupom boli pôvodné optimalizované veličiny.



Obr. 7: Bloková schéma LQG regulátora

$$\begin{bmatrix} \dot{\mathbf{x}} \\ \dot{\hat{\mathbf{x}}} \end{bmatrix} = \begin{bmatrix} \mathbf{A} & -\mathbf{B}\mathbf{K} \\ \mathbf{L}\mathbf{C}_e & \mathbf{A} - \mathbf{B}\mathbf{K} - \mathbf{L}\mathbf{C}_e \end{bmatrix} \begin{bmatrix} \mathbf{x} \\ \hat{\mathbf{x}} \end{bmatrix} + \begin{bmatrix} \mathbf{G} \\ \mathbf{0} \end{bmatrix} [\mathbf{w}] + \begin{bmatrix} \mathbf{0} \\ \mathbf{R}_e \end{bmatrix} [\mathbf{v}] \quad (13)$$

$$\mathbf{y} = [\mathbf{C} \quad \mathbf{D}\mathbf{K}] \begin{bmatrix} \mathbf{x} \\ \hat{\mathbf{x}} \end{bmatrix} + \begin{bmatrix} \mathbf{H} \\ \mathbf{0} \end{bmatrix} [\mathbf{w}] \quad (14)$$

4 Výpočet globálne vyhovujúcich váhujúcich konštánt LQG regulátora

Pretože syntéza LQG regulátora je založená na minimalizácii rozptylu odozvy optimalizovaných veličín, dá sa predpokladať, že riadený systém má spĺňa kritéria H_2 normy (16). Pre správnu funkciu odpruženia je však veľmi dôležité, aby hodnoty maximálnych amplitúd vyhodnocovaných signálov nepresahovali vopred zadefinované maximum. Kritérium minimalizácie maximálnej amplitúdy odozvy sa nazýva i ako H_∞ norma (17).

$$\|H_j\|_2 = \sqrt{(\mathbf{y}_j \mathbf{y}_j^T)} \quad (15)$$

$$\|H_j\|_\infty = \max(y_j). \quad (16)$$

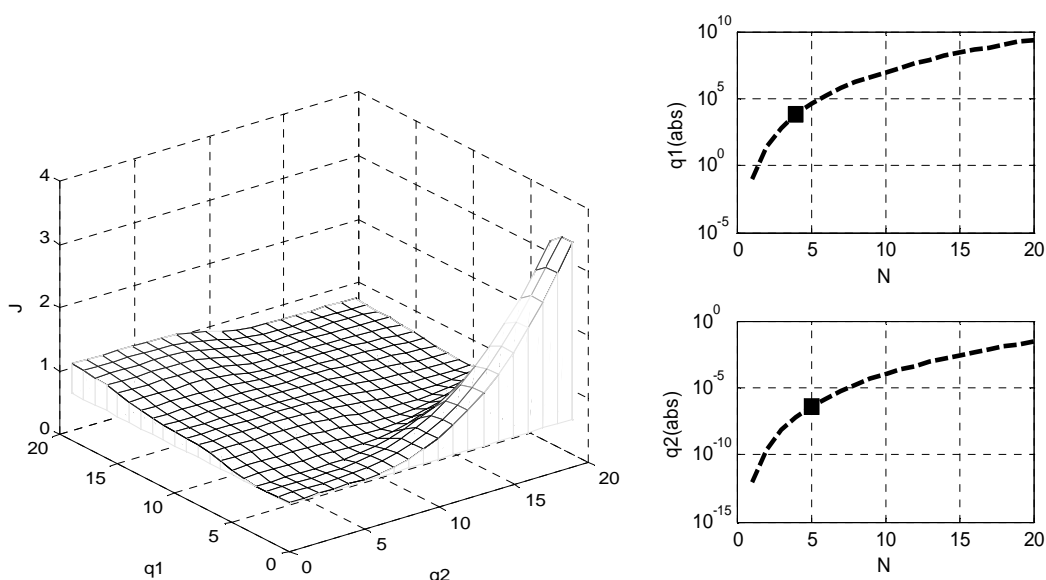
Pretože potrebujeme vyhodnotiť kombinované kritérium, ktoré zohľadní súčasne všetky optimalizované veličiny (zrýchlenie, pracovný priestor odpruženia, dynamickú silu pneumatiky a veľkosť akčného zásahu) prostredníctvom obidvoch noriem, tak je vhodné jednotlivé kritéria dodatočne znormovať vzhľadom k vopred zvolenej kritickej hodnote.

$$J_{H_{2j}} = \frac{\sqrt{(\mathbf{y}_j \mathbf{y}_j^T)}}{\sqrt{y_{j\text{krit}}^2}} \quad (17)$$

Na získanie globálneho kritéria všetky matice spočítame a podelíme ich hodnotou $2j$

$$\mathbf{J}_v = \frac{\sum_j \mathbf{J}_{H_{2j}} + \sum_j \mathbf{J}_{H_{\infty j}}}{2j} \quad (18)$$

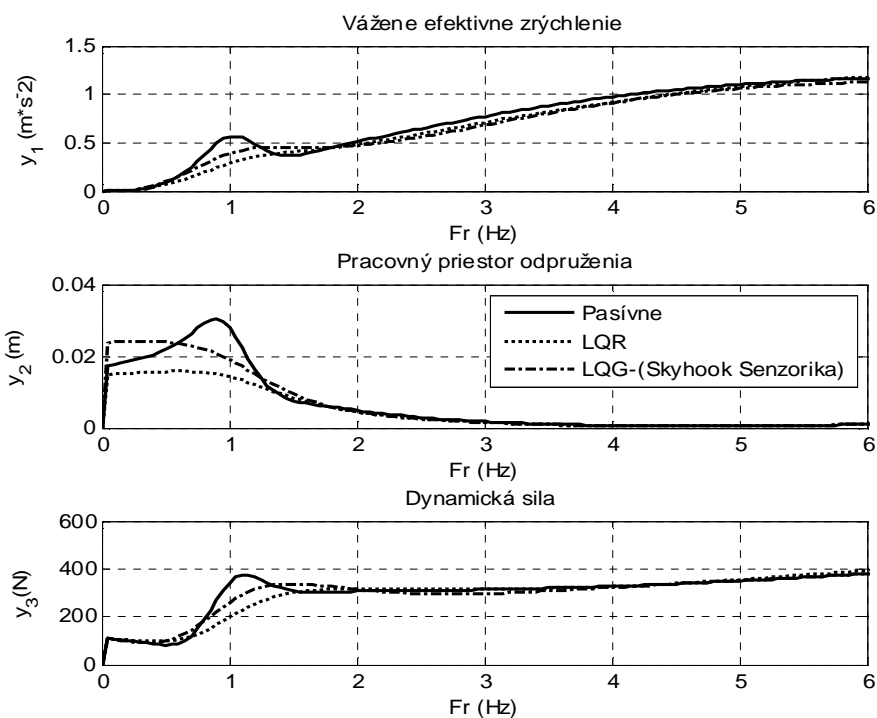
Následne nájdeme pozíciu minimálnej hodnoty, ktorá sa nachádza v tejto matici. Z pozície vieme určiť pozíciu optimálnych váhových konštánt vo vektoroch \mathbf{q}_1 a \mathbf{q}_2 .



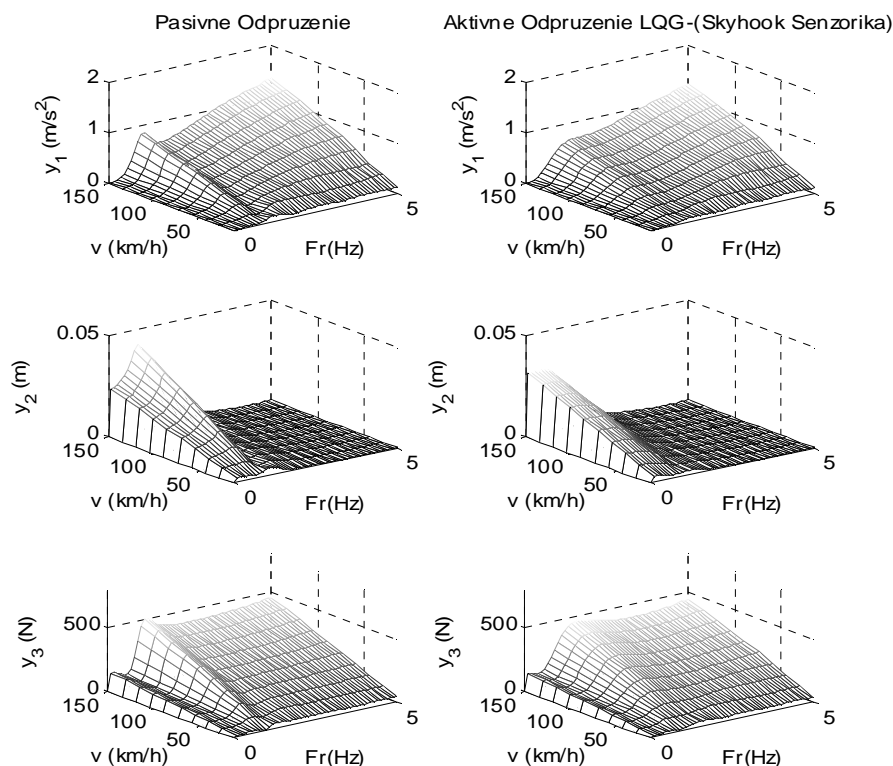
Obr. 8: (a) závislosť kritéria optimálnosti odpruženie vzhľadom k meniacim sa váhujúcim konštántám LQR regulátora q_1 a q_2 , (b) pozícia a veľkosť vybraných váhujúcich konštánt.

5 Výsledky a simulácie

Na *Obr. 9* je znázornené porovnanie dosahovanej kvality regulácie prostredníctvom jednotlivých ukazovateľov kvality odpruženia (komfort y_1 , bezpečnosť y_2 , spoľahlivosť y_3) pre pasívne, aktívne odpruženie s LQR regulátorom a aktívne odpruženie s LQG regulátorom so Skyhook reguláciou. Navyše na *Obr. 10*, sú zobrazené priebehy kritérií v závislosti od meniacej sa prejazdovej rýchlosti.



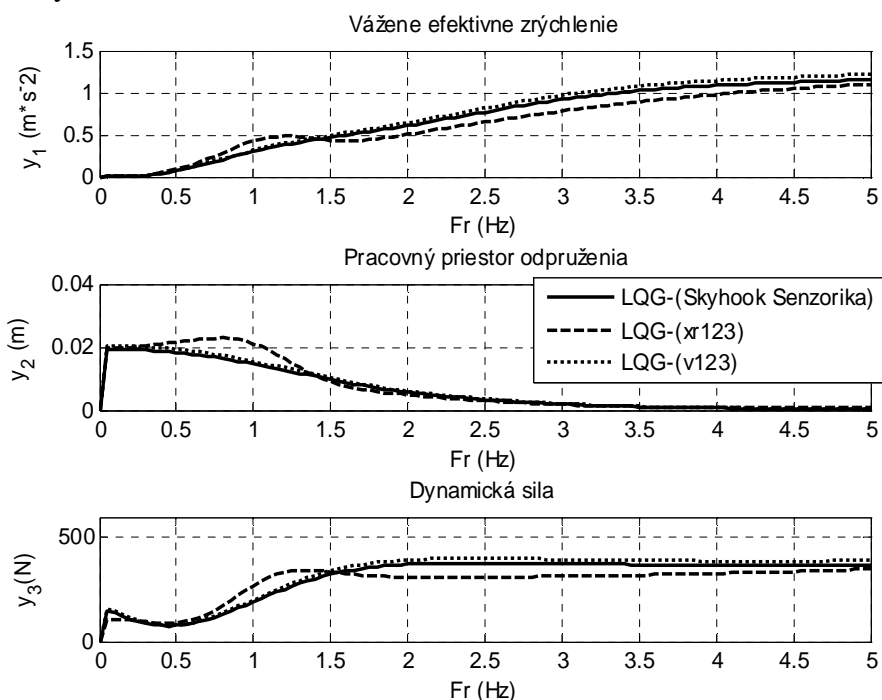
Obr. 9: Amplitúdovo frekvenčná charakteristika kritérií (ľavá strana vpredu) odpruženia s pasívnym a aktívnym s LQR a s LQG regulátorom (skyhook reguláciou)



Obr. 10: Amplitúdovo frekvenčná charakteristika kritérií odpruženia pasívneho a aktívneho odpruženia s LQG reguláciou (y_1 kvalita, y_2 spoľahlivosť, y_3 bezpečnosť)

Na Obr.11 je amplitúdovo frekvenčná charakteristika kritérií odpruženia s aktívnym LQG regulátorom pri obmieňaní meraných veličín. Celá čiara definuje priebeh kritérií, ak sú snímače rozmiestnené ako pri bežnej Skyhook regulácii, kde sa používa päť snímačov zrýchlenia, z toho tri sú umiestnené na karosérii a dva snímače na kolesách. Čiarkovanou

čiarou sú definované priebehy, ak použijeme tri snímače relatívnej výchylky, dve na prednej náprave a jednu na zadnej náprave medzi karosériou a kolesom. V prípade bodkovanej čiary sme snímali tri zrýchlenia na karosérii.



Obr. 11: Amplitúdovo frekvenčná charakteristika kritérií odpruženia celého modelu vozidla aktívnym s LQG regulátorom

6 Záver

Článok sa venoval analýze aktívne riadeného odpruženia na celom modeli vozidla s využitím optimálneho riadenia. Z grafov numerickej simulácie, môžeme tvrdiť, že aktívnym riadením sa nám podarilo potlačiť výchylku amplitúdy u všetkých troch ukazovateľov kvality odpruženia hlavne v oblasti prvej vlastnej uhlovej frekvencie, čo je zhruba v okolí 1,25 Hz. Rovnako môžeme tvrdiť, že k výsledkom optimálnej LQR regulácie sme sa najviac priblížili suboptimálnym LQG riadením, ak snímače na vozidle sú rozmiestnené ako pri bežnej Skyhook konfigurácii. Na riešenie uvedenej problematiky a prezentáciu dosiahnutých výsledkov bolo výhodné použitie softvérového prostredia Matlab so špecializovanou knižnicou z oblasti riadenia Control System Toolbox.

7 PodĎakovanie

Článok bol pripravený pri grantovej podpore VEGA projektu „*Pokročilé metódy riadenia systémov s rozloženými parametrami*“ (grant 1/0036/08) a APVV projektu „*Pokročilé metódy modelovania, riadenia a návrhu mechatronických systémov ako systémov so sústredeným vstupom a rozloženým výstupom*“ (APVV-0160-07).

8 Referencie

- [1] ISO: 2631-1, 1997, “Mechanical vibration and shock - Evaluation of human exposure to wholebody vibration”.
- [2] Stein, G. J., Ballo, I. (1991) Vehicle System Dynamics, 20, p. 51
- [3] Kachaňák, A.: Teória automatického riadenia II, Edičné stredisko SVŠT, Bratislava, 1985.
- [4] Rohal'-Ilkiv, B., (1987) Identifikácia Sústav, Edičné stredisko SVŠT, Bratislava.

[5] Thompson, A. G., (1976), An active suspension with optimal linear feedback, *Vehicle Systems Dynamics*. Vol. 5, pp. 187 – 203.

Ing. Monika Zuščiková, Ústav automatizácie, merania a aplikovanej informatiky, Strojnícka Fakulta, Slovenská Technická Univerzita, Nám. Slobody 17, 812 31 Bratislava 1
Fax: ++421/2/52495315, Tel.: ++421/2/52497193, e-mail: monika.zuscikova@stuba.sk

Doc. Ing. Cyril Belavý, CSc., Ústav automatizácie, merania a aplikovanej informatiky, Strojnícka Fakulta, Slovenská Technická Univerzita, Nám. Slobody 17, 812 31 Bratislava 1
Fax: ++421/2/52495315, Tel.: ++421/2/52497193, e-mail: cyril.belavy @ stuba.sk